

ความดันกระแทกของลำพุ่งความเร็วสูง Impact pressure of high-speed water jets

วุฒิชัย สิทธิวงษ์*, วิระพันธ์ สีหานาม, กุลเชษฐ เพียรทอง และ อนิรุตต์ มัทธจักร

ภาควิชาวิศวกรรมเครื่องกล คณะวิศวกรรมศาสตร์ มหาวิทยาลัยอุบลราชธานี อ.วารินชำราบ จ.อุบลราชธานี 34190
อีเมล: sittiwong@hotmail.com โทร 0-433-53380 โทรสาร 0-433-53333

บทคัดย่อ

การศึกษาลำพุ่งของไหลความเร็วสูง (High-Speed Liquid Jet) และหยดน้ำที่พุ่งชนผิววัสดุมีความสำคัญในงานอุตสาหกรรมหลายด้าน เช่น การตัดด้วยลำพุ่ง การทำความสะอาดผิววัสดุ การฉีดเชื่อมและการเผาไหม้ เป็นต้น การกระแทกจากของไหลความเร็วสูงสามารถที่จะทำให้เกิดความเสียหายหรือการเปลี่ยนรูปร่างอย่างถาวรในโครงสร้างของวัสดุได้ ดังเช่นการเกิดความเสียหายของเครื่องบินที่บินด้วยความเร็วสูงในเวลาที่ไม่ตก ซึ่งเป็นการกัดเซาะจากน้ำฝน การกัดเซาะจากน้ำฝน หรือ “Rain erosion” เป็นปัญหาที่มาของการวิจัยในด้านการพุ่งชนด้วยความเร็วสูง

วัตถุประสงค์ของการศึกษานี้เพื่อเปรียบเทียบและวัดความดันกระแทก (Impact pressure) ลำพุ่งของน้ำความเร็วสูงที่ระดับความเร็วเหนือเสียง โดยลำพุ่งความเร็วสูงจะใช้วิธีกำเนิดขึ้นด้วยการส่งถ่ายโมเมนตัมของลูกกระสุนปืน (projectile) ที่เคลื่อนที่ด้วยความเร็วสูงเข้ากระแทกน้ำที่บรรจุอยู่ในชุดหัวฉีด ความเร็วของลำพุ่งที่ใช้ในการทดลองจะมีความเร็วอยู่ในช่วง 1,240 – 2,290 เมตรต่อวินาที โดยกำเนิดจากเครื่องมือทดลองที่สร้างขึ้นจากหลักการทำงานของปืนที่ขับเคลื่อนด้วยดินปืนซึ่งจะถูกเรียกว่า “Horizontal Single Stage Powder Gun (HSSPG)” กับหัวฉีด 3 แบบ ที่มีขนาดรูฉีด 0.7 มิลลิเมตร แต่มีรูปทรงภายในแตกต่างกัน ลำพุ่งความเร็วสูงของน้ำจะพุ่งเข้ากระแทกแผ่นอะครี ลิกแล้ววัดแรงกระแทกของลำพุ่งโดยใช้เปียโซอิเล็กทริกฟิล์ม (Piezoelectric polyvinylidene fluoride (PVDF) film) จากผลการทดลองพบว่า ความดันกระแทกมีค่าสูงสุดประมาณ 3.4 GPa ที่ระยะ 3 เซนติเมตรจากปลายหัวฉีด และที่ระยะจากปลายหัวฉีดเพิ่มขึ้น ความดันกระแทกจะลดลงเนื่องจากแรงต้านของอากาศ (aerodynamic drag) การแตกตัวของแกนลำพุ่ง และการเป็นฝอยละอองของลำพุ่ง

คำหลัก: ลำพุ่งความเร็วสูง, ความดันกระแทก, เปียโซอิเล็กทริกฟิล์ม.

Abstract

The study of high-speed liquid jet and its droplets striking on the solid surface has important application in many industrial areas, such as jet cutting technology, jet cleaning, fuel injection, and combustion. High speed liquid impact can cause damage or permanently deform of structure materials. Such damage can occur on the surface of aircraft during high-speed flight in the rain. This “rain erosion” problem began to attract researchers in the field of impact engineering.

This study focuses on an experiment of the calibration and measurement of an impact pressure of high-speed water jets. The high-speed water jets were generated by using the momentum exchange from the impact of a high velocity projectile on liquid package contained in the nozzle. Water jet velocities ranging from 1240 m/s to 2291 m/s were generated by a horizontal single stage powder gun (HSSPG) with three difference nozzle curve angles and 0.7 mm orifice diameter. The impact pressure on polymethyl methacrylate (PMMA) caused by water jets impact was measured using a piezoelectric polyvinylidenedifluoride (PVDF) film. The maximum impact pressure of about 3.4 GPa at stand-off distance 3 cm was obtained. However, at more than 3 cm stand-off distance, the impact pressure significantly decreases because of aerodynamic drag, jet core break-up, and atomization of the water jet.

Key words: high-speed water jets, impact pressure, PVDF.

1. บทนำ

ปรากฏการณ์การกระแทกของของเหลวที่มีความเร็วสูงเกิดขึ้นในงานอุตสาหกรรมหลายด้านไม่ว่าจะเป็นการสร้างเพื่อใช้ประโยชน์หรือเป็นปัญหาที่เกิดขึ้นโดยไม่ต้องการ เช่น เทคโนโลยีการตัดและการทำความสะอาดผิววัสดุด้วยน้ำ การฉีดเชื้อเพลิงที่ความดันสูงและ เครื่องยนต์ สแครมเจ็ต (Scramjets) งานเหมืองแร่และอูโมงค์ การกัดกร่อนกังหันไอน้ำ การกัดกร่อนผิววัสดุที่เคลื่อนที่ผ่านน้ำ เนื่องจากหยดน้ำที่เคลื่อนที่ด้วยความเร็วสูงเมื่อกระทบลงบนผิววัสดุหรือวัตถุความเร็วสูงเคลื่อนที่ผ่านหยดน้ำจะทำให้เกิดความเสียหายขึ้นกับผิวของวัสดุ อย่างเช่นเครื่องบินที่เคลื่อนที่ผ่านฝน หยดน้ำที่กลั่นตัวในระบบกังหันไอน้ำขึ้นส่วนของระบบฉีดเชื้อเพลิงที่ความดันสูง [1-3] เป็นต้น Worthing (1908) [4] ทำการศึกษาทางกายภาพของหยดน้ำที่กระทบบนผิววัสดุโดยใช้เทคนิคการ

ถ่ายภาพความเร็วสูง การเกิดการเสีรูปร่างของแข็งที่ถูกกระแทกจากลำพุ่งความเร็วสูงจะเกิดขึ้น 5 แบบคือ การเสียหายที่ผิวเป็นวงกลม การเสียหายใต้ผิววัสดุ การเสีรูปร่างกว้าง การเสีรูปร่างจากแรงเฉือนในพื้นที่ที่ถูกกระแทกและการเสีรูปร่างจากการสะท้อนและการเกิดจากคลื่นสั่นสะเทือน (Stress wave) โดยการเกิดความเสียหายในแต่ละแบบนี้จะขึ้นอยู่กับคุณสมบัติของวัสดุและความเร็วของลำพุ่งที่เข้ากระทบ ส่วนการใช้งานลำพุ่งของน้ำครั้งแรกเพื่อใช้ในการตัดถ่านหินในสหภาพโซเวียต อเมริกาและโปรแลนด์ ใช้ความดันเพียง 30 MPa [3-5]

จากการศึกษาด้านการกระแทกของลำพุ่งความเร็วสูงบนผิววัสดุ เช่น การกระทบบนอลูมิเนียมกระจก อะคริลิก มีจุดประสงค์เพื่อศึกษาความเสียหายของผิววัสดุ ศึกษาความดันกระแทก (Impact Pressure) หรือการคำนวณค้อนน้ำ (Water hammer)

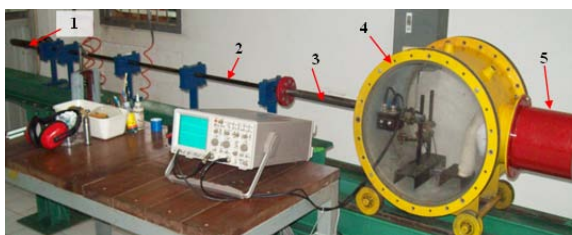
จากความเร็วของลำพุงที่ 2-3 เท่าของความเร็วเสียงเท่านั้น [6-10] การศึกษากระแทกของลำพุงที่ความดันสูงในระยะต่างๆ จากหัวฉีด (Stand-off Distance) ยังมีน้อยมาก และยังไม่พบในประเทศไทย

เนื่องจากความดันกระแทกจากลำพุงความเร็วสูงเป็นความดันจลน์ (Dynamics Pressure) และมีค่าความดันสูงในระดับเมกะปาสคาล (MPa) - จิกกะปาสคาล (GPa) ทำให้การวัดทำได้ยาก ด้วยเหตุนี้ที่ภาควิชาวิศวกรรมเครื่องกล มหาวิทยาลัยอุบลราชธานี จึงได้ สร้าง ชุดทดลอง กำเนิดลำพุงความเร็วสูงระดับจิกกะปาสคาล (GPa) จากการกระแทก (1) และเครื่องวัดความดันจลน์จากเปียโซอิเล็กทริกฟิล์ม เพื่อเป็นประโยชน์ต่อการศึกษาและพัฒนาาระบบฉีดเชื้อเพลิงที่ความดันสูงต่อไป

2. เครื่องมือและวิธีการทดลอง

2.1 ชุดกำเนิดลำพุงความเร็วสูง

การทดลองจะกำเนิดลำพุงความเร็วสูงที่ความเร็วเหนือเสียง (ระดับ Supersonic ถึง Hypersonic) จากชุดทดลองที่สร้างขึ้นและทำการปรับเทียบ โดยชุดทดลองนี้เรียกว่า “Horizontal Single - Stage Powder Gun (HSSPG)” ซึ่งประกอบไปด้วย 5 ส่วนหลัก คือ ชุดปล่อยลูกกระสุนปืน (Launcher) ท่อส่งลูกกระสุนปืน (Launch Tube) ท่อระบายความดัน (Pressure Relief Section) และห้องทดสอบ (Test Chamber) ถึงเก็บ (Drum Tank) ดังแสดงในรูปที่ 1



รูปที่ 1 ชุดกำเนิดลำพุงความเร็วสูง: 1.ชุดปล่อยลูกกระสุนปืน 2.ท่อส่งลูกกระสุนปืน 3.ท่อระบายความดัน 4.ห้องทดสอบ และ 5.ถังเก็บ

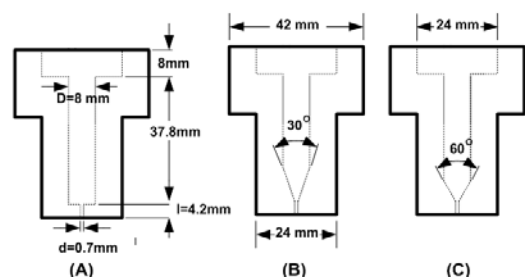
การกำเนิดลำพุงความเร็วสูงจะอาศัยหลักการการส่งถ่ายโมเมนตัม (Projectile Impact Driven Method)

จากลูกกระสุนปืน (หรือ Projectile) ไปกระแทกกับของเหลวที่ถูกบรรจุในชุดหัวฉีดด้วยความเร็วสูงของเหลวในชุดหัวฉีดก็จะถูกฉีดออกมาด้วยความเร็วสูง ซึ่งหลักการทำงานและรายละเอียดของชุดกำเนิดลำพุงความเร็วสูงได้นำเสนอไว้โดยวุฒิชัยและคณะแล้ว [11]

2.2 หัวฉีด

ปัจจัยที่มีผลต่อการกำเนิดลำพุงให้มีคุณลักษณะที่ต้องการ เช่น ความเร็วของลำพุงที่กำเนิดได้ การแตกตัว (Atomization) ของลำพุง ความสามารถของลำพุงในการเหนี่ยวนำ เป็นต้น นอกจากความเร็วของลูกกระสุนปืนที่กระแทกแล้ว รูปทรงของหัวฉีด (Nozzle Geometry) ยังเป็นปัจจัยสำคัญที่มีผลต่อคุณลักษณะของลำพุงที่กำเนิดได้ [12-14]

ในการทดลองนี้จะใช้หัวฉีดที่มีรูปทรงต่างกันสามแบบเพื่อศึกษาความเร็วของลำพุง (Water Jets Tip) และความดันกระแทกที่ระยะต่างๆจากปลายหัวฉีด หัวฉีดทั้งสามแบบจะมีขนาดเส้นผ่านศูนย์กลางห้องบรรจุของเหลว (D) 8 mm ขนาดรูหัวฉีด (d) 0.7 mm และความยาวรูฉีด (l) เป็น 4.2 mm ซึ่งความยาวรูฉีดจะถูกกำหนดในทอมของอัตราส่วนของความยาวรูฉีดต่อขนาดรูฉีด (l/d) ซึ่งเป็นตัวแปรที่สำคัญในการออกแบบหัวฉีด (2) และในส่วนที่แตกต่างกันคือ หัวฉีด A เป็นหัวฉีดทรงกระบอก (Cylindrical nozzle หรือ Step nozzle) หัวฉีด B เป็นหัวฉีดทรงกรวยมุม 30° และหัวฉีด C เป็นหัวฉีดทรงกรวยมุม 60° (Conical nozzle) ดังแสดงในรูปที่ 2

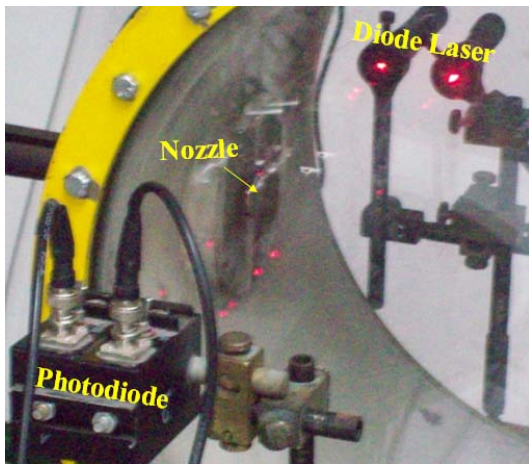


รูปที่ 2 หัวฉีดที่ใช้ในการทดลอง

2.3 การวัดความเร็วของลำพุง

การวัดความเร็วของลำพุงของเหลวใช้หลักการ

“การตัดเลี้ยวเซอร์ของวัตถุ (laser beam interruption method)” หรือ “Time of Flight Method” โดยใช้ไดโอดกำเนิดแสงเลเซอร์และไดโอดรับแสง จำนวน 2 ชุด โดยไดโอดชุดแรกวางห่างจากหัวฉีด 15 mm และไดโอดทั้งสองชุดวางห่างกัน 33 mm ไดโอดรับแสงจะต่อสายสัญญาณเข้ากับ ออสซิลโลสโคป (Oscilloscope) เพื่ออ่านสัญญาณไฟฟ้าจากไดโอดรับแสงและแสดงผลบนหน้าจอ ดังรูปที่ 3



รูปที่ 3 หัวฉีดที่ใช้ในการทดลอง

การวัดความเร็วของ ลำพุ่งของเหลว นั้นจะวัดจากเวลาที่ส่วนหัวของลำพุ่งของของเหลว ตัดแสงเลเซอร์ของ ตัวที่หนึ่งกับเลเซอร์ตัวที่สอง ที่แสดงวัดได้ ออสซิลโลสโคป แล้วจึง คำนวณความเร็วเฉลี่ยของ ลำพุ่ง (V_j) ดังสมการ

$$V_j = \frac{\Delta x}{\Delta t} \quad (1)$$

2.4 การวัดความดันกระแทกของลำพุ่ง

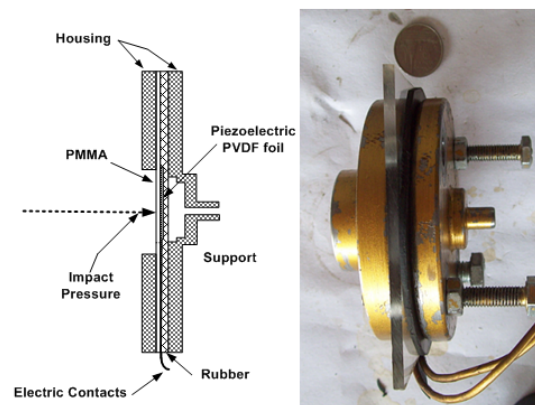
ลำพุ่งของเหลวที่ถูกกำเนิดจาก HSSPG เป็นแรงดันแบบจั้งหะพัลส์ (Pulse) ที่ไม่ต่อเนื่อง ซึ่งเป็นความดันจลน์ (Dynamic Pressure) หรือ ค้อนน้ำ (Water hammer) ซึ่งไม่สามารถใช้เครื่องวัดความดันซึ่งจะเป็นความดันสถิต (Static Pressure) วัดได้ นอกจากนี้ค่าความดันที่สูงยังเป็นปัญหาต่อการวัดและความเสียหายของเครื่องมือวัด

เครื่องวัดความดันถูกออกแบบและสร้างโดยใช้ เบียโซอิเล็กทริกฟิล์ม (Piezoelectric film) หรือ polyvinyliden fluoride (PVDF) ฟิล์ม ซึ่งอาศัยหลักการการกำเนิดแรงเคลื่อนไฟฟ้าจากการสั่น หรือ โกงตัวทันทีทันใด ดังนั้นจึงสามารถใช้งานกับความดันกระแทกได้ ซึ่งแสดงในรูปที่ 4 เป็น PVDF ฟิล์มที่ใช้สำหรับสร้างเครื่องวัดความดันกระแทกในการศึกษา



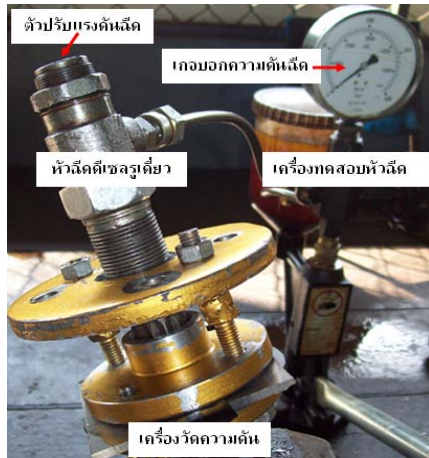
รูปที่ 4 เบียโซอิเล็กทริกฟิล์ม (Piezoelectric film)

เครื่องวัดความดันถูกสร้างให้ PVDF ฟิล์ม ถูกติดตั้งภายในเรือนโลหะ เครื่องวัดความดันจะประกอบไปด้วย ส่วนหน้าของเรือนโลหะจะเป็นแผ่นอะคริลิกหนา 6 mm ทำหน้าที่รับแรงกระแทกจากลำพุ่ง ส่วนที่สองเป็น PVDF ฟิล์ม มีความหนา 28 μm ซึ่งจะต่อสายสัญญาณกับ ออสซิลโลสโคป และส่วนที่สามเป็นแผ่นยางหนา 1.8 cm ทำหน้าป้องกันความเสียหายจากกระแทกของ PVDF กับเรือนโลหะส่วนหลัง ดังแสดงในรูป 5



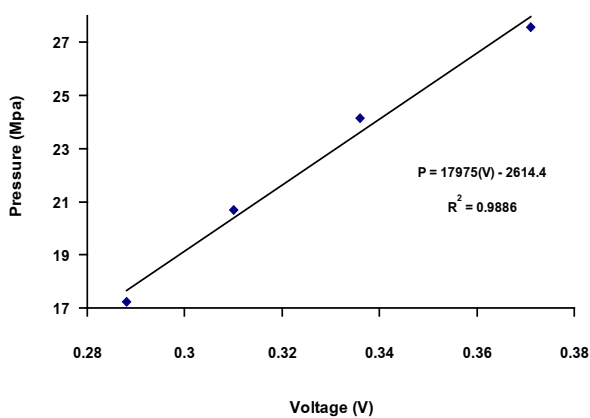
รูปที่ 5 ส่วนประกอบของเครื่องวัดความดัน

การปรับเทียบเครื่องวัดความดันโดยใช้ความดัน
กระแทกจากเครื่องทดสอบหัวฉีดและหัวฉีดดีเซลแบบ
ปรับความดันฉีดได้ โดยยึดหัวฉีดเข้ากับเครื่องวัด
ความดันดังรูปที่ 6



รูปที่ 6 ชุดปรับเทียบความดัน

การปรับเทียบความดันจะทำโดยปรับความดันฉีด
ที่ตัวปรับแรงดันของหัวฉีดดีเซล จากนั้นฉีดเชื้อเพลิง
ดีเซลกระแทกลงบนเครื่องวัด เมื่อเครื่องวัดถูก
กระแทกจากเชื้อเพลิงที่ฉีด PVDF फिल्मจะโก่งตัวทำ
ให้เกิดแรงเคลื่อนไฟฟ้าส่งไปยัง ออสซิลโลสโคป ความ
ดันที่ใช้สำหรับการปรับเทียบจะถูกสร้างขึ้นจากเครื่อง
ทดสอบหัวฉีดและหัวฉีดดีเซลจากความดัน 17.2 –
27.6 MPa (2,500 – 4,000 psi) ผลที่ได้จากการ
ปรับเทียบแสดงไว้ในรูปที่ 7



รูปที่ 7 แผนภาพความดันกับแรงเคลื่อนไฟฟ้าจาก
เครื่องวัดความดัน PVDF फिल्म

จากรูปที่ 7 ได้สมการความสัมพันธ์ของความดันกับ
แรงเคลื่อนไฟฟ้า

$$P = 17,975 (V) - 2614.4 \quad (2)$$

เมื่อ $P =$ ความดัน (psi)

$V =$ แรงเคลื่อนไฟฟ้า (Voltage)

ในการทดลอง เมื่อลำพุ่งของเหลวความเร็วสูง
กระแทกลงบนเครื่องวัด แผ่น PVDF फिल्मโก่งตัว ทำ
ให้เกิดแรงเคลื่อนไฟฟ้าขึ้น และส่งสัญญาณไปที่
ออสซิลโลสโคป ได้สัญญาณไฟฟ้าดังแสดงในรูปที่ 8
เมื่อนำค่าแรงเคลื่อนไฟฟ้าแทนลงในสมการที่ 2 ก็จะได้
ความดันกระแทก



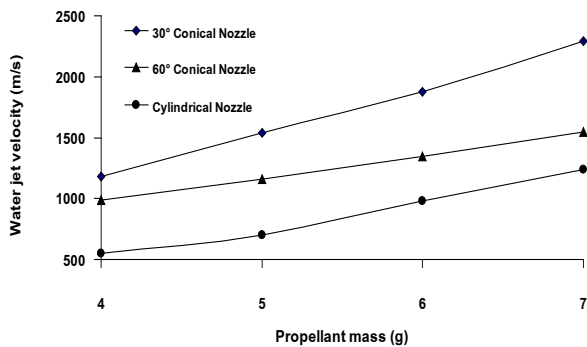
รูปที่ 8 แรงเคลื่อนไฟฟ้าจาก PVDF फिल्म เมื่อถูก
กระแทกด้วยความดันจากลำพุ่งของน้ำ

3. ผลการศึกษา

3.1 ความเร็วลำพุ่งของน้ำ

ในเบื้องต้น ความเร็วของลำพุ่งจะถูกเปลี่ยนแปลง
ตามความเร็วของลูกกระสุนปืน โดยการเพิ่มปริมาณ
ดินปืนขั้ว การทดลองหาความเร็วของลำพุ่งจากหัวฉีด
ทั้งสามแบบข้างต้น ที่ปริมาณดินปืนขั้ว 4-7 กรัม
(ความเร็วของลูกกระสุนปืนเฉลี่ย 956-1,358 m/s)
พบว่าทุกๆค่าการทดลองของปริมาณดินปืนจาก
หัวฉีด B ได้ค่าความเร็วสูงที่สุด และความเร็วสูงสุด
ของลำพุ่งของน้ำมีค่า 2,292 m/s ที่ปริมาณดินปืนขั้ว
7 กรัม (ความเร็วของลูกกระสุนปืน 1,358 m/s) ส่วน
ความเร็วต่ำสุดของลำพุ่งได้จากหัวฉีด A ที่ความเร็ว

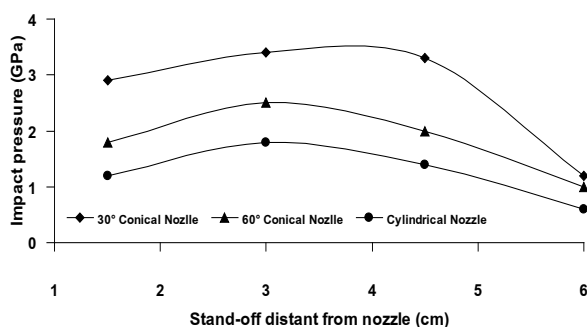
552 m/s จากปริมาณดินปืนชั้น 4 กรัม ดังแสดงในรูปที่ 9



รูปที่ 9 ผลจากรูปทรงหัวฉีดและปริมาณดินปืนชั้นที่มีต่อความเร็วของลำพุ่งของน้ำ

3.2 แรงดันกระแทก

ที่ความเร็วสูงสุดของลำพุ่งของน้ำจากหัวฉีด (A) (B) และหัวฉีด (C) มีค่า 1,240 2,292 และ 1,549 m/s ตามลำดับ ใช้ทดลองหาค่าความดันกระแทกที่ระยะ 1.5, 3, 4.5 และ 6 cm พบว่าที่หัวฉีด B มีความดันสูงกว่าหัวฉีด A และ C ในทุกตำแหน่ง หัวฉีด A มีความดันกระแทกต่ำที่สุดในทุกตำแหน่งการวัด และหัวฉีดทั้งสามแบบจะค่าความดันกระแทกสูงสุดที่ระยะ 3 cm จากหัวฉีด ค่าความดันกระแทกสูงสุดของหัวฉีด A มีค่า 1.8 GPa ค่าความดันกระแทกสูงสุดของหัวฉีด B มีค่า 3.4 GPa และค่าความดันกระแทกสูงสุดของหัวฉีด C มีค่า 2.5 GPa ดังรูปที่ 10



รูปที่ 10 ผลของความดันกระแทกที่ระยะต่างๆ

3.3 แรงดันกระแทกทางทฤษฎี

การศึกษากลไกการเสียรูปของผิววัสดุภายใต้แรงแรงกระแทกของของไหลที่มีความเร็วสูงเป็นผลที่เกิด

จากความดันกระแทกที่เกิดจากของไหลเคลื่อนที่แล้วหยุดอย่างฉับพลันจากสิ่งกีดขวาง โดยใช้สมการพื้นฐานของสมการค้อนน้ำ (Water Hammer) สมการที่ใช้คือ

$$P = \rho CV \quad (3)$$

เมื่อ P เป็นความดัน (N/m^2) ρ เป็นความหนาแน่นของของไหลความเร็วสูง (kg/m^3) C เป็นความเร็วเสียงของของไหลความเร็วสูง (Sound of Speed, m/s) และ V เป็นความเร็วของของไหลความเร็วสูง (m/s) [2, 4-7, 10, 15, 16]

นำผลของความเร็วลำพุ่งของน้ำที่ค่าสูงสุดจากหัวฉีดทั้งสามในรูปที่ 4 แทนสมการที่ 3 เพื่อหาความดันกระแทกหรือค้อนน้ำเปรียบเทียบกับความดันกระแทกที่ได้จากการทดลองที่ระยะการวัดของชุดวัดความเร็ว 1.5 - 4.8 cm ได้ผลเปรียบเทียบกันดังตารางที่ 1

ตารางที่ 1 เปรียบเทียบผลความดันกระแทกจากการคำนวณและการทดลองที่ความเร็วลำพุ่งของน้ำสูงสุดของหัวฉีดสามแบบ

รูปร่างหัวฉีด		Step Nozzle (GPa)	30° Conical Nozzle (GPa)	60° Conical Nozzle (GPa)
วิธีการ	การคำนวณ (1.5 - 4.8 cm.)	1.9	3.57	2.57
	การทดลอง			
การทดลอง	ระยะ 3 cm.	1.8	3.4	2.5
	ระยะ 4.5 cm.	1.4	3.3	2

4. อภิปรายผลการศึกษา

การทดสอบความดันกระแทกของลำพุ่งของน้ำที่ความเร็วสูง เพื่อสร้างและเปรียบเทียบเครื่องวัดความดันจลน์ที่ความดันสูงมากๆ ศึกษาปัจจัยเบื้องต้นที่มีผลต่อความดันกระแทกที่เกิดขึ้นจากลำพุ่งความเร็วสูงมากๆ หาความสัมพันธ์ระหว่างความเร็วของลำพุ่งของน้ำกับความดันกระแทกและความดันกระแทกที่ระยะต่างๆ ของลำพุ่งจากหัวฉีดที่แตกต่างกัน จากผลการทดลองแสดงให้เห็นว่าความเร็วของลูกกระสุนปืน

ที่ทำหน้าที่ขับเคลื่อนลำพุงมีผลต่อความเร็วของลำพุง ความเร็วของลำพุงมีผลโดยตรงต่อความดันกระแทกของลำพุง ส่วนความดันกระแทกของลำพุงที่ใกล้หัวฉีดไม่ได้มีค่ามากที่สุดแต่จะเพิ่มขึ้นหากระยะเพิ่มขึ้นจนถึงระยะหนึ่งจึงลดลงอย่างต่อเนื่อง ซึ่งต้องทำการศึกษาต่อไปถึงความมีนัยสัมพันธ์กับความเร็วของลำพุงของน้ำที่ระยะต่างๆ รูปร่างภายในมีผลโดยตรงต่อความเร็วของลำพุง เครื่องวัดความดัน PVDF ฟิล์มสามารถวัดความดันจนนี้ได้ผลที่น่าพอใจเมื่อเปรียบเทียบกับความดันที่ได้จากการคำนวณ

แต่อย่างไรก็ตามลำพุงของน้ำที่ความเร็วสูงจะทำให้เกิดคลื่นกระแทก (Shock Wave) ขึ้น ในเบื้องต้นเชื่อว่าสามารถใช้เครื่องวัดความดัน PVDF ฟิล์มที่สร้างขึ้นทำการศึกษาพฤติกรรมในเบื้องต้นได้ ซึ่งจะได้ทำการศึกษาเพื่อให้เกิดประโยชน์ต่อไป

5. สรุปผลการศึกษา

งานทดลองนี้ ออกแบบ สร้างและเปรียบเทียบ เครื่องวัดความดันจนได้จาก PVDF ฟิล์ม เพื่อใช้วัดความดันที่เกิดจากลำพุงของน้ำความเร็วสูง ศึกษาความดันกระแทกของลำพุงของน้ำที่ความเร็วสูง ความสัมพันธ์ของความดันกระแทกที่เกิดจากรูปร่างของหัวฉีดสามแบบ ความสัมพันธ์ของความดันกระแทกกับความเร็วสูงสุดของลำพุงความเร็วสูง

จากการศึกษานี้พบว่าความดันกระแทกของลำพุงความเร็วสูงมีผลโดยตรงจากความเร็วของลำพุง และความเร็วของลำพุงขึ้นอยู่กับรูปร่างของหัวฉีดและความเร็วในการกระแทกของลูกกระสุนปืนหรือตัวขับเคลื่อนลำพุงด้วย

6. กิตติกรรมประกาศ

ขอขอบคุณสำนักงานคณะกรรมการการวิจัยแห่งชาติ (วช.) และภาควิชาวิศวกรรมเครื่องกล มหาวิทยาลัยอุบลราชธานีที่ให้การสนับสนุนทุนวิจัย

7. เอกสารอ้างอิง

[1] A.S. Vlasov, E.L. Zilberbrand, A.A. Kozhushko, A.I. Kozachuk and A.B. Sinani (2002). Behavior of Strengthened Glass Under High-Velocity Impact, Strength of Material, Vol. 34(3), pp. 266-268.

[2] J.E.Field (1966). Stress waves, deformation and fracture caused by liquid impact, Mathematical and Physical Sciences, Vol. 260(6), pp. 86-93.

[3] S.J.Leach and G.L.Walker (1966). The application of high speed liquid jets to cutting, Mathematical and Physical Sciences, Vol. 266, pp. 295-310.

[4] J.H.Brunton (1966). The physics of impact and deformation: Single Impact, Mathematical and Physical Sciences, Vol. 260(1110), pp. 79-85.

[5] F.P.Bowden, F.R.S., and J.H.Brunton (1961). The deformation of solid by liquid impact at supersonic speeds, Mathematical and Physical Sciences, Vol. 263(10-15), pp. 433-450.

[6] N.K.Bourne, T.Obara and J.E.Field (1997). High-speed Photography and Stress Gauge Studies of Jet Impact Upon Surfaces, The Royal Society, Vol. 355, pp. 607-623.

[7] N.K.Bourne (2005). On Impacting Liquid Jets and Drops onto Polymethylmethacrylate Targets, The Royal Society, Vol. 461, pp. 1129-1145.

[8] Yoshiaki YAMAUCHI, Hitoshi SOYAMA and Yasunori ADACHI (1995). Suitable Region of High-Speed Submerged Water Jets for Cutting and Peening, JSME, Vol. 38 (1), pp. 31-38.

[9] N.K.Bourne, T.Obara and J.E.Field (1996). The impact and penetration of a water surface by a liquid jet, The Royal Society, Vol. 452, pp.1497-1502.

[10] H.H. Shi, Kazuyoshi Takayama and Nobuo Nagayasu (1995). The measurement of impact pressure and solid surface response in liquid solid impact up to hypersonic range, WEAR, Vol. 186-187, pp. 352-359.

[11] วุฒิชัย สิทธิวงษ์, กุลเชษฐี เพียรทอง, วิระพันธ์ สีหานาม และ อนิรุตน์ มีทรจักร (2008). การเปรียบเทียบ

ชุดกำเนิดลำพุ่งความเร็วสูง , การประชุมเครือข่าย
วิศวกรรมเครื่องกลแห่งประเทศไทย ,
มหาวิทยาลัยธรรมศาสตร์ จังหวัดปทุมธานี.

[12] K.Pianthong, S.Zakrzewski, M.Behnia and
B.E.Milton (2002). Supersonic liquid jets: Their
generation and shock wave characteristics, Shock
Waves, Vol.7(11), pp. 457-66.

[13] H.H. Shi, Motoyuki Itoh (1966). Design and
Experiment of a Small High-Speed Liquid Jet
Apparatus, Jpn.J.Appl.Phys, pp. 35(4157-4165).

[14] M.V. Hopson, S.K. Treadway (2008). Testing
and computational analysis of pressure
transducers in water filled tank impacted by
hypervelocity projectile, Impact Engineering, Vol.
35(12), pp. 121-139.

[15] N.L.Hancox, J.H.Brunton (1966). The Physics
of Impact and Deformation: Multiple Impact, The
Royal Society, Vol 260, pp. 121-39.

[16] F.P.Bowden, F.R.S. and J.E.Field (1964).
The brittle fracture of solid by liquid impact, by
solid impact, and by shock, The Royal Society,
Vol. 282, pp. 331-352.